

## ДВУХЗАРЯДНЫЙ МЕТАСТАБИЛЬНЫЙ ЦЕНТР, ОБУСЛОВЛЕННЫЙ ДИСЛОКАЦИЯМИ В CdS

Вывенко О. Ф., Истратов А. А., Хлебов А. Г.

Методами емкостной спектроскопии и фотопроводимости исследованы электронные состояния дефектов, обусловленных дислокациями в сульфиде кадмия. Обнаружено, что дефекты, сопровождающие как ростовые, так и введенные пластической деформацией дислокации в сульфиде кадмия, обладают метастабильными свойствами: в зависимости от условий начального заполнения уровней альтернативно проявляются два электронных состояния, различающихся по энергиям термической и оптической ионизации.

*Введение.* Явления метастабильности в полупроводниках с глубокими центрами в настоящее время интенсивно изучаются в связи с проблемами технологии современной микроэлектроники и потенциальной возможностью их использования для создания элементов памяти. Известно, что метастабильные дефекты могут возникать при легировании, термической обработке, в процессе радиационного облучения и представляют собой дефекты точечного типа, природа которых, за редким исключением, окончательно не установлена [1].

Роль дислокаций в явлениях метастабильности практически не изучена, и до недавнего времени единственным проявлением участия в них дислокаций было наблюдение остаточной (сохраняющейся) проводимости в пластически деформированных кристаллах селенида и сульфида кадмия [2, 3].

В нашей предыдущей работе [4] мы обнаружили, что ростовые дислокации в сульфиде кадмия обладают еще одним типом метастабильности: в зависимости от условий начального заполнения уровней наблюдались два электронных состояния, отличающихся по энергиям термической и оптической ионизации.

В настоящей работе мы установили, что дефекты с подобными свойствами также возникают и в результате пластической деформации. Методами емкостной спектроскопии и фотопроводимости мы подробно исследовали электронные состояния метастабильных дефектов, обусловленных дислокациями, в сульфиде кадмия. Из анализа кинетики захвата и соотношения абсолютных величин емкостных сигналов, соответствующих опустошению этих состояний, мы сделали заключение о принадлежности последних двухзарядному центру, однозначное состояние которого является метастабильным вследствие наличия барьера, ограничивающего захват второго электрона. Существование этого барьера обуславливает новый, отличный от ранее предложенного [2, 3] механизм сохраняющейся проводимости в дислокационных образцах, связанный с перезарядкой метастабильных дефектов. Происхождение барьера обусловлено конфигурационной перестройкой дефекта при его перезарядке.

### 1. Образцы и методика измерений

Исследовались образцы монокристаллов CdS, выращенные в нашей лаборатории из газовой фазы по модифицированному методу Маркова—Давыдова [5], с концентрацией мелких доноров, определенной из измерений вольт-фарадовых характеристик  $(3 \div 5) \cdot 10^{16} \text{ см}^{-3}$ . Ростовые дислокации в этих кристаллах сосредоточены преимущественно в малоугловые границы, вытянутые в направ-

лении оси С. Линейная плотность дислокаций в таких границах составляла  $10^2$ — $10^4$  см $^{-1}$ , расстояния между границами достигали 2—3 мм.

Свежие дислокации вводились при температуре 100—150 °C одноосным сжатием прямоугольных образцов, ориентированных для преимущественного скольжения дислокаций либо в базисной, либо в призматической системе скольжения.

Перед нанесением контактов образцы разрезались на пластины толщиной около 1 мм с большими поверхностями (1010) или (0001), механически и химически полировались. Соотношение травителя ( $\text{CrO}_3 + \text{HCl}$ ) подбиралось так, чтобы получить зеркальную поверхность образца, на которую термическим испарением в вакууме через маску напылялись золотые штотки-контакты диаметром 0.5 мм. Для исходных образцов они располагались либо на бездислокационных участках поверхности, либо в областях со скоплением ростовых дислокаций. На противоположную поверхность наплавлялись омические индивидуальные контакты, конфигурация которых позволяла освещать Au-контакты с тыльной стороны.

Измерения проводились на автоматизированной установке [6], собранной на основе аналогового емкостного моста [7], работающего на частотах 1 и 10 МГц, ЭВМ ДВК-2М, интерфейсов КАМАК. Для определения постоянной времени релаксации емкости в методе DLTS применялась корреляционная процедура с весовой функцией в виде меандра, соответствующая работе синхронного усилителя. При измерениях фотоемкости и фотопроводимости источником света служила галогенная лампа с монохроматором ИКМ-1.

## 2. Результаты

**2.1. Термостимулированные методы.** В спектрах DLTS недеформированных образцов на контактах, свободных от ростовых дислокаций, наблюдалась единственная малоинтенсивная линия  $I1$  (рис. 1, а, в, кривые 1) и небольшой (чаще всего бесструктурный) сигнал в области высоких температур. При напылении контактов на участки поверхности исходных образцов со скоплением ростовых дислокаций (рис. 1, а) или на поверхности пластически деформированных образцов (рис. 1, б, в) сигнал релаксации емкости возрастал во всем исследованном температурном интервале, но оказывался неизменно больше, когда образец перед измерением был охлажден с включенным напряжением обратного смещения диода (рис. 1, кривые 2). Это состояние называется нами в дальнейшем состоянием ОС (охлажден со смещением). Величина сигнала возрастила с повышением начальной температуры охлаждения вплоть до 400 К.

Минимальная величина сигнала наблюдалась, если образец был охлажден с выключенным (нулевым) смещением (состояние ОНС) от температуры выше 250 К (рис. 1, кривые 3). В этом состоянии в спектрах дислокационных образцов наиболее отчетливо разрешались линии  $D2$ ,  $D3$ ,  $D4$ ,  $D8$ , параметры которых в пределах погрешности совпадали с обнаруженными ранее в работах [8, 9]. Обозначения  $D2$ — $D4$ ,  $D8$  (рис. 1) соответствуют введенным в работе [9].

Разница в сигналах DLTS, полученных в состояниях ОС и ОНС (см. рис. 1, кривые 4), представляет собой неоднородно уширенную DLTS-линию, обозначенную на рисунке как  $MS1$ . Ширина этой линии примерно в 3 раза превышает ширину нормальной DLTS-линии, что, очевидно, является следствием неэкспоненциальности процесса релаксации емкости. Однако вблизи температуры максимума линии этот процесс носил близкий к экспоненциальному характер. Полученные из измерений данные термического положения максимума линии  $MS1$  для различных частот опорного сигнала синхронного усилителя в координатах Аррениуса хорошо укладывались на прямую. Полученные из наклонов этих прямых энталпии ионизации уровня оказались по величине близкими для всех исследованных типов дислокаций —  $(0.67 \pm 0.06)$  эВ для дислокаций призматической системы скольжения,  $(0.71 \pm 0.06)$  эВ — для базисной,  $(0.65 \pm 0.06)$  эВ — для ростовых, несмотря на заметное различие в температурном положении максимумов.

На кривых термостимулированной релаксации емкости (ТСЕ), снятых в состоянии ОС после подачи короткого заполняющего импульса, наблюдалась единственная ступенька  $MS1$ , ширина которой также в несколько раз превышала нормальный ТСЕ переход (рис. 2, кривые 1). По своему термическому положению, ширине и условиям появления ТСЕ ступенька  $MS1$  и DLTS-линия  $MS1$  соответствуют друг другу и могут быть отнесены к одному и тому же электронному переходу.

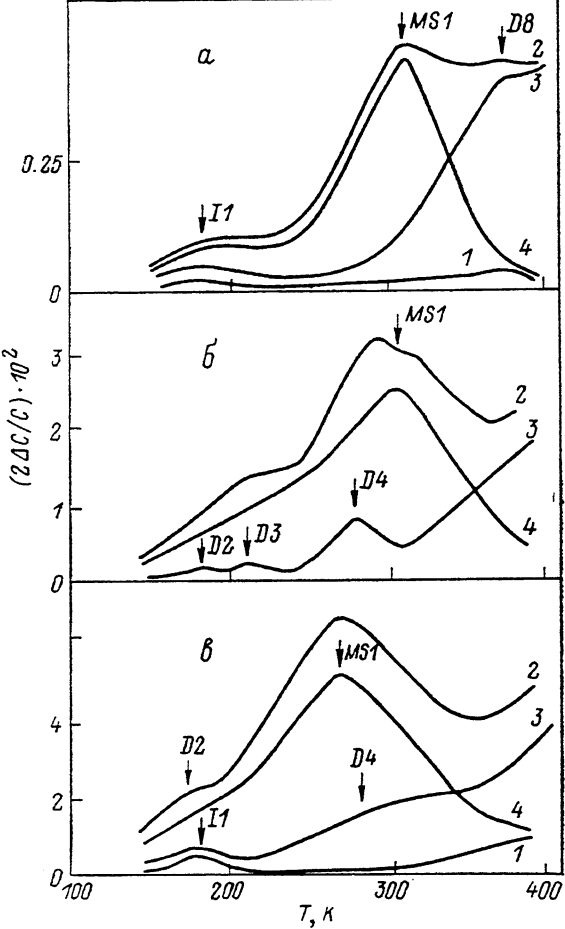


Рис. 1. Спектры DLTS образцов CdS с ростовыми дислокациями (а), пластически деформированных в призматической (б) и базисной (в) системах скольжения.

Степень деформации  $\epsilon$ , %: б — 9, в — 7. Напряжение смещения на образцах  $U_0=3$  В, амплитуда заполняющих импульсов  $U_p=2.8$  В, их длительность  $t_p=10$  мс, частота спорного сигнала  $f=2$  Гц. 1 — бездислокационный образец; дислокационные образцы: 2 — после охлаждения от  $T=360$  К со смещением (состояние ОС), 3 — после охлаждения от  $T=300$  К без смещения (состояние ОНС); 4 — разностные спектры (разница кривых 2 и 3).

В состоянии ОНС эта ступенька отсутствовала, но появлялась другая, обозначенная на рис. 2 (кривые 2) как  $MS2$ , в области более высоких температур. Ступенька ТСЕ  $MS2$  также является уширенной. Температура начала этой ступеньки оказалась примерно одинаковой для образцов всех типов ( $\sim 330$  К), а температура завершения перехода для пластически деформированных образцов была примерно на 50 К выше, чем для образцов с ростовыми дислокациями.

Варьированием скоростей нагрева по формуле, приведенной в работе [10], мы получили следующие значения для энергий термической активации процесса, соответствующего ступеньке  $MS2$ :  $E_e - E_f = (0.95 \pm 0.1)$  эВ для ростовых дислокаций и  $E_e - E_f = (1.15 \pm 0.1)$  эВ для пластически деформированных образцов. Приведенное значение погрешности соответствует статистической

погрешности, полученной при обработке данных по методу наименьших квадратов. Действительная погрешность, по-видимому, еще больше вследствие большой неточности в определении температуры середины столь широкого перехода, как  $MS_2$ .

Величина сигналов  $MS_1$  (из данных DLTS) и  $MS_2$  (из данных TCE) росла с увеличением амплитуды заполняющих импульсов. При достижении амплитуды импульсов значения напряжения обратного смещения и диффузионного напряжения шоттки-диода эта зависимость переходила в насыщение. Этот результат показывает, что центры, ответственные за происхождение  $MS_1$  и  $MS_2$ , являются объемными.

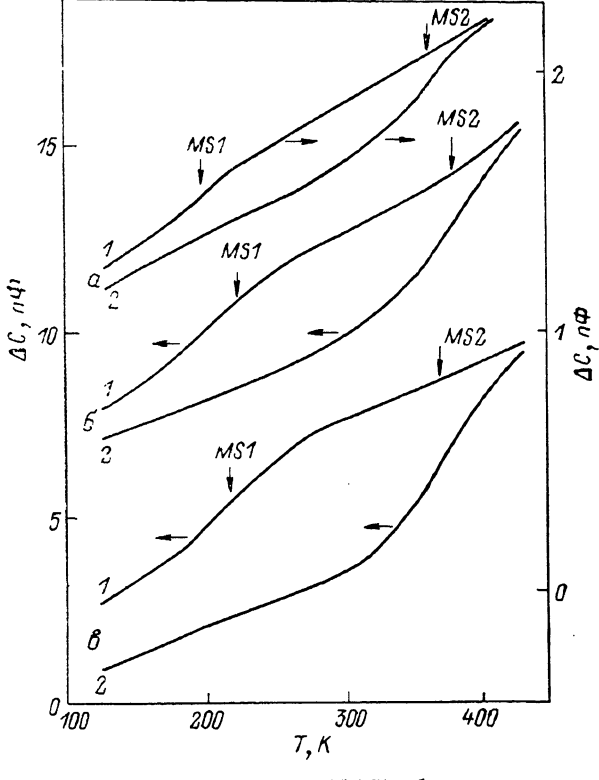


Рис. 2. Кривые термостимулированной емкости (ТСЕ) образцов с ростовыми дислокациями (a), пластически деформированных в призматической (б) и базисной (в) системах скольжения.  $U_b=3$  В, скорость нагрева  $q=0.018$  К/с. Образец охлажден: 1 — со смещением (состояние ОС), 2 — без смещения (состояние ОНС).

**2.2. Фотостимулированные методы.** В спектрах стационарной фотоемкости (ФЕ) бездислокационных образцов заметный сигнал ФЕ наблюдался при энергиях квантов, больших 1.5 эВ (рис. 3, a, штриховая кривая), соответствующий фотоопустошению хорошо известного в CdS  $r$ -центра. Величина этого сигнала и вид спектра не зависели от условий охлаждения образца до температуры измерения (около 100 К).

В деформированных образцах и в образцах с ростовыми дислокациями появляется дополнительный сигнал ФЕ: в состоянии ОС главной особенностью является ступенька  $MS_1$  с пороговой энергией  $E_0=(0.65 \pm 0.05)$  эВ, определенной из экстраполяции к оси абсцисс участка кривой ФЕ с наибольшим наклоном (рис. 3, a, кривая 2). В состоянии ОНС эта ступенька не наблюдается, а вместо нее возникает другая —  $MS_2$  с пороговой энергией  $(1.3 \pm 0.1)$  эВ (рис. 3, a, кривая 1). Кинетика нарастания этого сигнала ФЕ характеризуется аномально большими временами (порядка 1 ч и более). По достижении стационарного значения емкости образец оказывается в состоянии ОС, т. е. его спектры DLTS, TCE и ФЕ совпадают с соответствующими спек-

трами образцов, охлажденных от высокой температуры с приложенным напряжением обратного смещения.

Аналогичное явление мы обнаружили и при измерениях спектров фотопроводимости (ФП) образца с дислокациями. Эксперименты были выполнены при температуре 100 К на образцах призматической системы скольжения, которые характеризуются большой анизотропией темновой проводимости (ТП) [11]. ТП таких образцов в направлении, перпендикулярном плоскостям скольжения, достаточно мала для проведения измерений ФП в примесной области спектра.

Заметный рост ФП образца, охлажденного в темноте от температуры выше 300 К, начинается в области энергий квантов, больших 1.2 эВ (рис. 3, б),

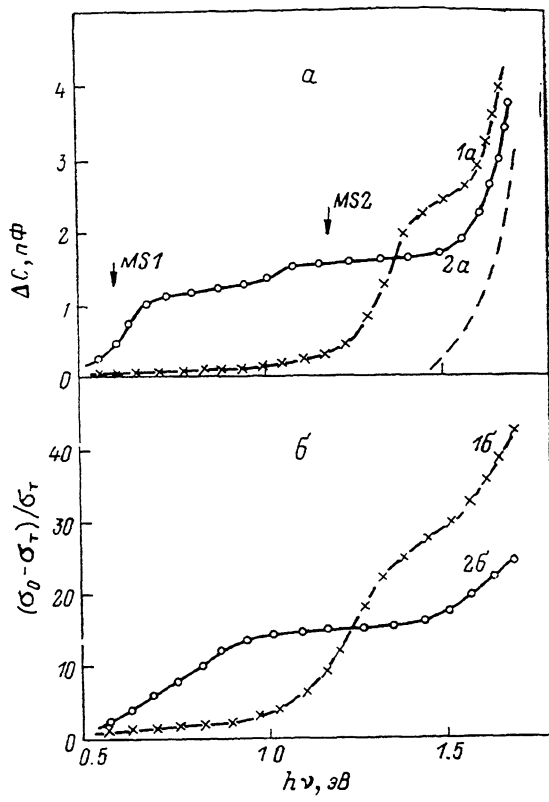


Рис. 3. Спектры стационарной фотоемкости (а) ( $C_0=13$  пФ) и фотопроводимости (б) образца CdS, пластически деформированного в призматической системе скольжения ( $\epsilon=9\%$ ).  $T=120$  К. Образец охлажден: 1а — со смещением (состояние ОС), 2а — без смещения (состояние ОНС), 1б — в темноте; 2б — образец после засветки в течение 1 ч светом с  $h\nu > 1.3$  эВ.

кривая 1), т. е., как и ТСЕ, в состоянии ОНС. Как и в емкостных измерениях, кинетика нарастания ФП имеет аномально большие времена!

После выключения света проводимость не возвращается к своему исходному значению, а уменьшается до величины, которая превышает исходную в несколько раз, т. е. образец оказывается в состоянии сохраняющейся (остаточной) проводимости (ОП). Спектр ФП образца в этом состоянии коррелирует со спектром ТСЕ в состоянии ОС: имеет красную границу при меньших энергиях квантов, чем в состоянии ТП, а первоначальная особенность при 1.2 эВ отсутствует. Такое поведение позволяет сопоставить состояние ОС в емкостных измерениях с состоянием ОП в измерениях проводимости.

Регистрация метастабильных центров  $MS1$  и  $MS2$  при измерениях фотопроводимости окончательно доказывает их объемный характер.

2.3. Происхождение состояний  $MS1$  и  $MS2$ . Величины всех перечисленных сигналов, соответствующих особенностям  $MS1$  и  $MS2$ , возрастили с ростом числа дислокаций в образцах, плотность которых определялась по ямкам трав-

ления. При этом общий характер явления и параметры упомянутых особенностей мало различались для двух использованных систем скольжения дислокаций, т. е. не зависели от структуры их ядра. Кроме того, число состояний  $MS1$  и  $MS2$ , определенное из емкостных измерений, оказалось в несколько раз больше возможного числа оборванных связей на ядрах дислокаций, оцененного из плотности дислокаций. Это означает, что  $MS1$  и  $MS2$  не являются состояниями ядер дислокации, а, по-видимому, принадлежат точечным дефектам структуры, сгруппированным в придислокационных областях.

Большая ширина особенностей  $MS1$  и  $MS2$ , зарегистрированная в методах DLTS и TCE, в этом случае свидетельствует о том, что как  $MS1$ , так и  $MS2$  соответствуют наборам локальных электронных состояний с несколько разли чающимися энергиями термической ионизации и сечениями захвата электронов, например точечным дефектам одного сорта, радиально распределенных вокруг ядра дислокации.

**2.4. Кинетика заполнения и механизм взаимосвязи  $MS1$  и  $MS2$ .** Приведенные выше результаты показывают, что образцы CdS с дислокациями могут находиться в зависимости от условий начального заполнения уровней в двух состояниях, которые различаются спектрами DLTS, TCE, ФЕ, ФП и в которых альтернативно наблюдаются два набора электронных переходов —  $MS1$  и  $MS2$ . В состоянии ОС исходно пустые уровни заполнялись в наших опытах электронами при низкой температуре. При этом наблюдается только электронный переход  $MS1$ . Переход  $MS2$  в этих условиях не имеет места, но возникает при охлаждении образца с нулевым смещением, т. е. при повышении температуры заполнения. Отсюда следует вывод о существовании барьера для захвата электронов на уровень  $MS2$ .

Состояние ОНС соответствует исходно полному заполнению всех уровней. Однако электронный переход  $MS1$  не наблюдается. Этот факт указывает на то, что заполнение электронами электронного уровня  $MS1$  в этом случае, несмотря на условия опыта, не происходит. С другой стороны, в этом же состоянии наблюдается электронный переход  $MS2$ . Поэтому можно заключить, что заполнение  $MS2$  препятствует заполнению  $MS1$ , т. е. состояния  $MS1$  и  $MS2$  взаимосвязаны.

Подобная взаимосвязь может быть следствием принадлежности этих состояний двум различным электронным или конфигурационным состояниям одного и того же дефекта. Кроме того, для дефектов дислокационного происхождения возможен еще один механизм указанной взаимосвязи, реализующийся, если центры  $MS1$  и  $MS2$  сосредоточены вблизи дислокаций, в скоплении дефектов с локальной плотностью, большей концентрации мелких доноров в образце или сравнимой с ней. В этом случае при заполнении уровней одного из типов дефектов образуется отталкивающий кулоновский барьер, препятствующий заполнению других дефектов в скоплении. Следствием такого механизма является зависимость постоянной времени заполнения одного из дефектов в скоплении ( $MS1$ ) от степени заполнения уровней другого дефекта ( $MS2$ ).

Для разрешения сформулированной альтернативы о принадлежности  $MS1$  и  $MS2$  к состояниям одного и того же дефекта или различным дефектам, а также для определения барьера для захвата электронов на уровень  $MS2$  мы исследовали кинетики заполнения уровней  $MS1$  и  $MS2$ . Для этого были проведены измерения зависимостей величин емкостных сигналов, регистрируемых при опустошении  $MS1$  и  $MS2$  от длительности заполняющих импульсов ( $t_p$ ).

Результат измерений для ростовых дислокаций представлен на рис. 4. Для заполнения  $MS1$  данные получены из измерений DLTS, для  $MS2$  — из TCE и ФЕ. Степень заполнения  $f$  определялась как отношение величины изменения емкости к ее максимальной величине. На рис. 4, a представлена кинетика изменения сигнала DLTS  $MS1$  при различных степенях заполнения  $MS2$ . Как видно из рисунка, характерное время заполнения  $MS1$  практически одинаково для всех кривых, что позволяет исключить из рассмотрения модель независимых дефектов.

С другой стороны, сумма степеней заполнения  $f(MS1) + f(MS2)$  для всех кривых (рис. 4, a) близка к единице, что указывает на принадлежность состояний  $MS1$  и  $MS2$  к одному дефекту. Кроме того, измеренная в более широком

интервале  $t_p$ , кривая заполнения  $MS1$  (рис. 4, б) имеет участки роста, квазинасыщения и спада. При этом участок спада заполнения  $MS1$  совпадает по времени с началом роста заполнения  $MS2$ . Подобный вид кинетики заполнения соответствует рассчитанному для двух электронных состояний одного и того же дефекта, различающихся либо своим зарядовым состоянием [12], либо атомной конфигурацией [13, 14].

Как видно из рис. 4, б, изменение температуры эксперимента не изменяет хода начального участка кривой заполнения  $MS1$ , что свидетельствует об отсутствии барьера для заполнения этого состояния, но сильно сказывается на величине характерного времени спада  $MS1$  — нарастания заполнения  $MS2$ .

Кинетика заполнения  $MS2$  хорошо описывалась экспоненциальной зависимостью, постоянная времени которой при комнатной температуре (120 мс) соответствовала сечению захвата электронов  $\sigma_e = 10^{-22}$  см<sup>-2</sup>. Из температурной зависимости  $\sigma_e$  было получено значение барьера для захвата  $E_b = (0.35 \pm 0.05)$  эВ.

Для образцов со свежевведенными дислокациями общие тенденции характеристик захвата сохранялись, т. е. при малых  $t_p$  происходило заполнение  $MS1$ , которое при больших  $t_p$  сменялось уменьшением заселенности этого состояния с одновременным ростом заполнения  $MS2$ . Однако заполнение  $MS1$  и  $MS2$  происходило за несколько порядков  $t_p$  и носило логарифмический характер. Последнее свойство свидетельствует, как это было показано в [15], об образова-

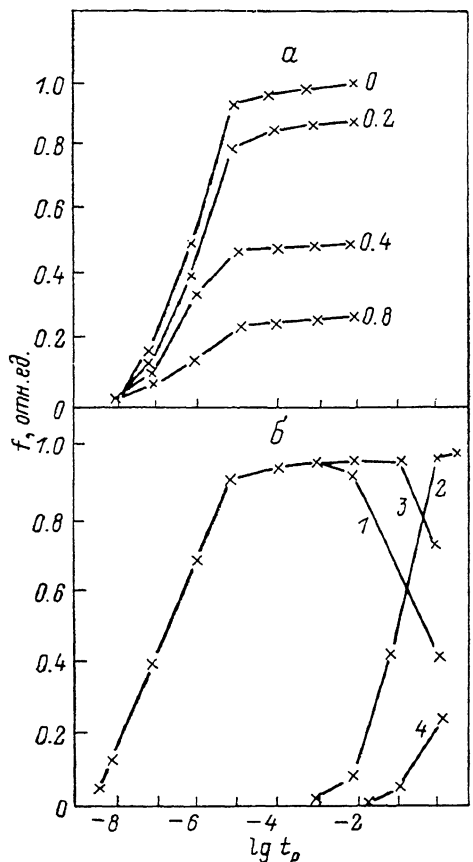


Рис. 4. Зависимость степени заполнения уровней от длительности заполняющих импульсов для образца с ростовыми дислокациями.

а)  $MS1$  при различных степенях заполнения  $MS2$  (цифры у кривых); б)  $MS1$  и  $MS2$  при двух различных температурах. К: 1, 2 — 300; 3, 4 — 310. 1, 3 —  $MS1$  из данных DILTS, 2, 4 —  $MS2$  из данных TCE.

нии коллективного барьера за счет кулоновского взаимодействия близко расположенных центров. Получение параметров процесса захвата отдельных изолированных центров в этой ситуации связано с решением нелинейного дифференциального уравнения и его сравнением с экспериментом. Не останавливаясь на деталях этой процедуры, отметим лишь, что оценка величины барьера для заполнения  $MS2$  дала значение  $\sim 0.4$  эВ, в то время как для заполнения  $MS1$  барьер, как и для ростовых дислокаций, оказался близким к нулю.

Таким образом, полученные результаты позволяют сделать вывод о том, что электронные переходы  $MS1$  и  $MS2$  соответствуют переходам с двух различных уровней одного и того же дефекта. Измерения абсолютных изменений емкости  $\Delta C$ , соответствующих особенностям  $MS1$  и  $MS2$  кривых ТСЕ, проведенные на образцах с различной плотностью ростовых дислокаций и с различной степенью пластической деформации, показали, что отношение  $\Delta C(MS2)/\Delta C(MS1)$  оказалось для всех образцов в пределах 10 % погрешности равным двум. Этот факт дает основание считать уровень  $MS2$  двухэлектронным, а  $MS1$  — одноэлектронным.

Происхождение барьера, лимитирующего переход из состояния  $MS1$  в состояние  $MS2$ , и захват второго электрона мы связываем с конфигурационной перестройкой дефекта. Один из возможных вариантов диаграммы конфигурационных координат (ККД), качественно иллюстрирующей происхождение метастабильности, изображен на рис. 5. На ККД  $A0$  соответствует адиабатическому потенциалу пустого дефекта, совпадающему с дном зоны проводимости.  $A1$  соответствует уровню дефекта с одним захваченным электроном. Это состояние является метастабильным, так как для захвата второго электрона и перехода на уровень  $A2$  с двумя захваченными электронами необходимо изменить конфигурацию дефекта и преодолеть барьер  $E_b$ .

При охлаждении диода с включенным напряжением обратного смещения дефект исходно находится в состоянии  $A0$ , а после подачи заполняющих импульсов — в метастабильном состоянии  $A1$ . При нагреве или освещении образца происходят электронные переходы  $A1 \rightarrow A0 + e$ , которые регистрируются как особенности  $MS1$  в соответствующих экспериментальных спектрах.

При охлаждении диода с выключенным напряжением обратного смещения или равном охлаждении в темноте объемного образца от достаточно высокой температуры оказывается заполненным двухэлектронный уровень  $A2$ . Энергии термической и оптической ионизации больше соответствующих значений для одноэлектронного уровня  $A1$ . Поэтому электронный переход  $A2 \rightarrow A1 + e$

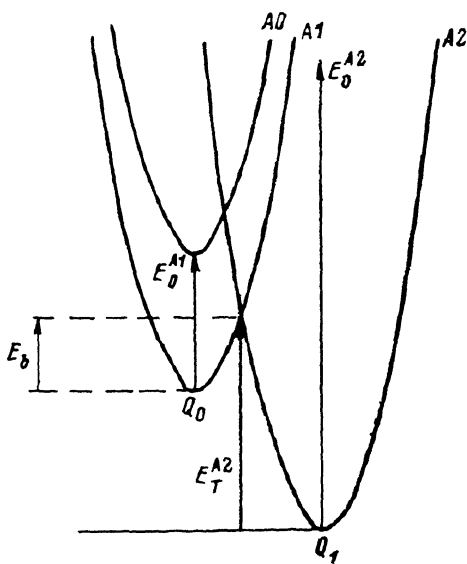


Рис. 5. Модель конфигурационных координат двухзарядного метастабильного центра в CdS.

автоматически приводит к освобождению второго электрона  $A1 \rightarrow A0 + e$ , и оба эти процесса дают вклад в величину сигнала  $MS2$ . После фотоопустощения двухэлектронного состояния  $MS2$  в процессе измерения фотопроводимости при низкой температуре возможен обратный захват только одного из двух фотозарядов, так как захвату второго препятствует барьер  $E_b$ . Таким образом, ровно половина электронов, фотовозбужденных с рассматриваемого центра, будет находиться в зоне проводимости и обуславливать сохраняющуюся проводимость до тех пор, пока образец не будет нагрет до достаточно высокой температуры. Энергия оптической ионизации уровня  $A2$  очень велика, и оптическое возбуждение этого уровня с меньшими энергиями квантов возможно лишь с одновременным участием большого числа фононов, которые могут обеспечить возврат в конфигурацию  $A1$ . Следовательно, этот процесс маловероятен, чем объясняются аномально большие времена фотоответа в состоянии ОНС. Отметим, что рассмотренная модель аналогична известной модели  $DX$ -центра в твердых растворах Ga-Al-As [16] и отличается от нее добавлением еще одного зарядового состояния дефекта.

Изменению конфигурации дефекта от  $A1$  к  $A2$  соответствует в действительности некое изменение его микроструктуры. В единственном примере метастабильных дефектов, для которых микроструктура надежно установлена методом ЭПР комплексов  $Fe_xA_y$  в кремнии [17], две конфигурации дефектов различаются положением междуузельного железа  $Fe$ , относительно атома акцепторной примеси замещения  $A$ , в ближайшем или более удаленном тетраэдри-

ческом междоузлии. При этом энергия активации перестройки центра отождествляется с энергией активации миграции Fe<sub>4</sub>.

Представления о важной роли междоузельных атомов в изменении микроструктуры дефектов были развиты и привлекались ранее Шейнкманом, Корсунской (см. обзор [18]) и др. для интерпретации большого числа явлений метастабильности в сульфиде кадмия, получивших историческое название «фотохимические реакции». Параметры одного из таких явлений — фотодеградации фотосопротивлений из CdS [19] — хорошо коррелируют с некоторыми параметрами метастабильного центра, обнаруженного в настоящей работе. Так, энергия термической ионизации MS2 совпадает в пределах погрешности с энергией активации фоточувствительного состояния и максимума термостимулированного тока, появляющегося в CdS после фотодеградации. Энергия активации процесса захвата электрона на уровень MS2 совпадает с энергией активации процесса фотодеградации. Такая же величина была зарегистрирована в опытах по электротранспорту мелких доноров [20] и интерпретирована как энергия активации миграции междоузельного кадмия.

Исходя из вышеизложенных фактов, мы предполагаем, что изменение конфигурации дефекта, обнаруженного в настоящей работе, непосредственно связано с перемещением междоузельного кадмия между неэквивалентными положениями.

В заключение авторы благодарят В. Т. Серегина за выращивание кристаллов CdS, Н. В. Базлова за помощь в проведении измерений и Н. Т. Баграева за стимулирующие дискуссии.

#### Список литературы

- [1] Watkins G. D. // Mater. Sci. Forum. 1989. V. 38-41. P. 39—50.
- [2] Осишьян Ю. А., Штейнман Э. А. // ФТТ. 1976. Т. 18. В. 1. С. 302—304.
- [3] Борискин С. Э., Вывенко О. Ф., Новик Ф. Т., Трофимов О. А. // ФТП. 1979. Т. 13. В. 4. С. 665—669.
- [4] Истратов А. А., Вывенко О. Ф., Хлебов А. Г. // ФТП. 1989. Т. 23. В. 8. С. 1521—1524.
- [5] Марков Е. В., Давыдов А. А. // Изв. АН СССР. Неорг. матер. 1971. Т. 7. В. 3. С. 575—580.
- [6] Базлов Н. В., Вывенко О. Ф., Истратов А. А. // ПТЭ. 1990. № 4. С. 76—82.
- [7] Базлов Н. В., Вывенко О. Ф., Тульев А. А. // ПТЭ. 1987. № 3. С. 176—180.
- [8] Vyvenko O. F., Schröter W. // Phil. Mag. A. 1984. V. 50. P. L11—L17.
- [9] Базлов Н. В., Вывенко О. Ф., Тульев А. В. // Изв. АН СССР. Сер. физ. 1987. Т. 51. С. 668—673.
- [10] Buehler M. G. // Sol. St. Electron. 1972. V. 15. N 1. P. 69—72.
- [11] Вывенко О. Ф., Тульев А. В. // ФТТ. 1987. Т. 29. В. 3. С. 855—857.
- [12] Ledebu L.-A., Yhan-Guo Wang // Appl. Phys. Lett. 1983. V. 42. N 8. P. 680—682.
- [13] Levinson M. // J. Appl. Phys. 1985. V. 58 (7). P. 2628—2633.
- [14] Кузнецов Н. В., Филатов В. Н. // Письма ЖЭТФ. 1987. Т. 45. В. 11. С. 543—545.
- [15] Schröter W., Seibt M. // J. de Phys. 1983. V. 44. (Suppl. C-4). P. 329—337.
- [16] Lang D. V., Logan R. A., Jaros M. // Phys. Rev. B. 1979. V. 19. N 2. P. 1015—1030.
- [17] Chantre A., Bois D. // Phys. Rev. B. 1985. V. 31. N 12. P. 7979—7988.
- [18] Шейнкман М. К., Корсунская Н. Е. Физика соединения A<sub>2</sub>B<sub>6</sub> / Под ред. А. М. Георгибани, М. К. Шейнкмана. М., 1986. 320 с.
- [19] Korsunskaya N. E., Markevich I. V., Torchinskaya T. V., Sheinkman M. K. // Phys. St. Sol. 1980. V. 60a. P. 565—572.
- [20] Korsunskaya N. E., Markevich I. V., Torchinskaya T. V., Sheinkman M. K. // J. Phys. C: Sol. St. 1980. V. 13. P. 2975—2978.